

УДК 548.0 : 535

ИССЛЕДОВАНИЕ ФАЗОВОГО ПЕРЕХОДА  
В КРИСТАЛЛАХ ЦИКЛОГЕКСАНА  
И ДЕЙТЕРОЦИКЛОГЕКСАНА ПО ФОНОННЫМ СПЕКТРАМ

Э. И. Мухтаров, В. Н. Роговой, Ю. Н. Красюков и Г. Н. Жижин

По температурной зависимости фононных КРС спектров анизотропных кристаллов циклогексана и дейтероциклогексана впервые показано, что переориентация молекул вокруг оси  $C_3$  активируется до фазового перехода в пластический кристалл. Расчет частот и форм колебаний решетки проведен с применением атом-атомных потенциалов.

Введение

Кристаллический циклогексан служил за последние 10—15 лет объектом многочисленных спектральных исследований [1—6]. Интерес этот вызван полиморфизмом и необычными свойствами высокотемпературной — пластической модификации (кристалл I), называемой еще «ротационно-кристаллической» [7].

При упорядоченном расположении центров тяжести молекул (правильная кубическая решетка) их ориентации хаотичны и изменяются во времени. Для пластической фазы характерна малая энтропия плавления (2.286 э. е.), свидетельствующая об «освобождении» только поступательных степеней свободы и о разрушении трансляционного порядка при плавлении, тогда как ориентационный порядок разрушен в пределах самой пластической фазы из-за термически активированных переориентаций молекул [1]. При понижении температуры пластического кристалла после изотермического фазового перехода (186.1 К) он превращается в анизотропный, моноклинный кристалл (кристалл II) с фиксированной ориентацией молекул.

Из данных по ширине линии ЯМР [8] известно, что при температуре выше 150 К сужение линии обусловлено активацией вращательных переориентаций молекул вокруг оси  $C_3$  (свободной молекулы). Активационный барьер этих переориентаций, по-видимому, достаточно велик ( $> 2$  ккал/моль) и не мог быть определен из температурной зависимости ширины линий ИК поглощения, соответствующих внутримолекулярным колебаниям [1]. Представляло интерес найти проявление этого эффекта в фононном спектре кристалла II, активном в КРС и непосредственно связанном с молекулярными либрациями.

Для суждения о принадлежности частот к тем или иным типам поворотов (либраций) следует располагать надежно интерпретированным спектром и данными о формах колебаний. Наличие расчетной модели и данных о структуре кристалла II позволяют детально проанализировать его фононный спектр (спектр малых частот), а также его изменения при приближении к точке фазового перехода со стороны низких температур.

В настоящей работе исследована температурная зависимость фононного спектра КРС циклогексана и дейтероциклогексана в широком интервале температур, включая ближайшую окрестность фазового перехода (кристалл II — кристалл I), и рассчитан фононный спектр низкотемпературной кристаллической модификации этих веществ.

## Условия эксперимента

В области  $40\text{--}200\text{ см}^{-1}$  КРС спектры (рассеяние вперед) кристаллического циклогексана и дейтероциклогексана регистрировались на дифракционном спектрофотометре ДФС-24. В качестве возбуждающей использовалась линия 488 нм аргонового ионного лазера. Точность измерения частот  $\pm 2\text{ см}^{-1}$ . Ампулы с веществами помещались в металлический вакуумный криостат, в котором для проведения точных температурных измерений ( $\pm 0.05^\circ$ ) медный держатель образца с нагревателем был отделен от азотной ванны стальным тонкостенным переходником. В интервале 115—185 К температура образца изменялась со скоростью  $15^\circ/\text{час}$ , а в окрестности фазового перехода — со скоростью  $0.5^\circ/\text{час}$ .

## Результаты и их обсуждение

1. Анизотропия вращательных переориентаций циклогексана вблизи фазового перехода. На рис. 1 показана температурная зависимость фоновых спектров КРС циклогексана и дейтероциклогексана в области 115—180 К. Там же приведена интерпретация переходов, полученная на основании расчета и проверенной по изотопическим соотношениям.

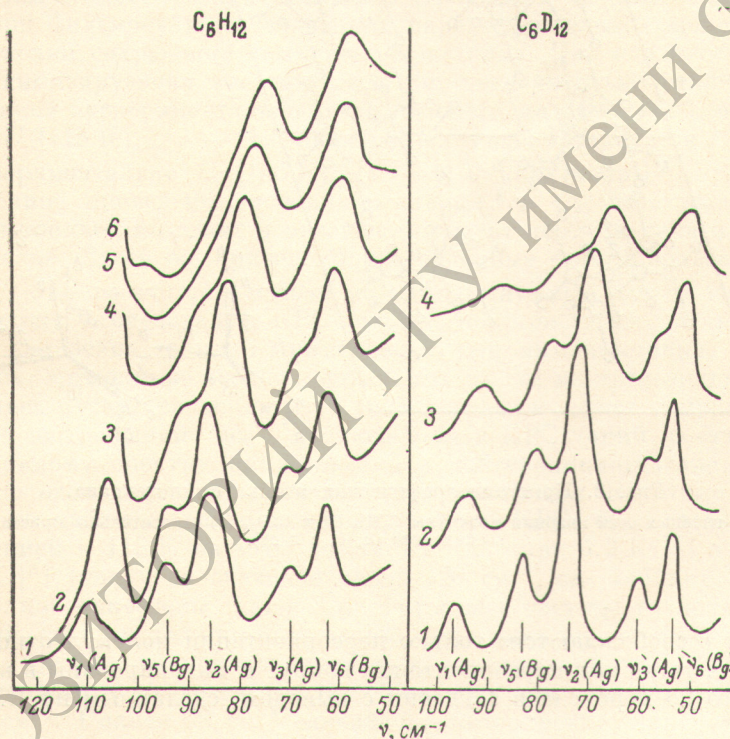


Рис. 1. Температурная зависимость фоновых спектров КРС.

Циклогексан ( $C_6H_{12}$ ): 1, 2 — 115, 3 — 140, 4 — 160, 5 — 170, 6 — 180 К; дейтероциклогексан ( $C_6D_{12}$ ): 1 — 115, 2 — 140, 3 — 160, 4 — 180 К. Кривая 1 ( $C_6H_{12}$ ) получена с фильтром для устранения плазменной линии ( $105\text{ см}^{-1}$ ).

Из температурной зависимости прежде всего видно, что линии  $\nu_3$  и  $\nu_5$  циклогексана и аналогичная пара в спектре дейтероциклогексана быстрее других уширяются и убывают по интенсивности по мере приближения к фазовому переходу. При температурах 160—170 К (за  $20\text{--}30^\circ$  до точки перехода) они становятся практически не наблюдаемыми.

Из расчета форм колебаний следует, что линии  $\nu_3(A_g)$ ,  $\nu_5(B_g)$  относятся к колебаниям с существенным участием поворотов вокруг оси  $w$  ( $C_3$  — в свободной молекуле), близкой к кристаллографической оси  $c^*$  (рис. 2).

По-видимому, барьер вращательных переориентаций относительно этой оси ( $\geq 2$  ккал/моль [1]) ниже, чем относительно осей  $u$  и  $v$ , вследствие чего убывание интенсивностей и уширение соответствующих фоновых линий происходит задолго до перехода.

Линии  $\nu_1 (A_g$ , поворот вокруг оси  $u$ ),  $\nu_2 (A_g$ , поворот вокруг оси  $v$ ),  $\nu_3 (B_g$ , поворот вокруг оси  $u$ ) отчетливо сохраняются в спектре до температур, отличающихся от точки перехода не более чем на  $0.2^\circ$ . Эти переориентации существенно затруднены упаковкой молекул в кристалле (рис. 2). Они «освобождаются» только при переходе в пластический кристалл. В этом случае все линии КРС спектра, показанные на рис. 1, переходят в бесструктурное крыло релевеского рассеяния. Полученные нами данные позволяют утверждать, что при фазовом переходе в пластический

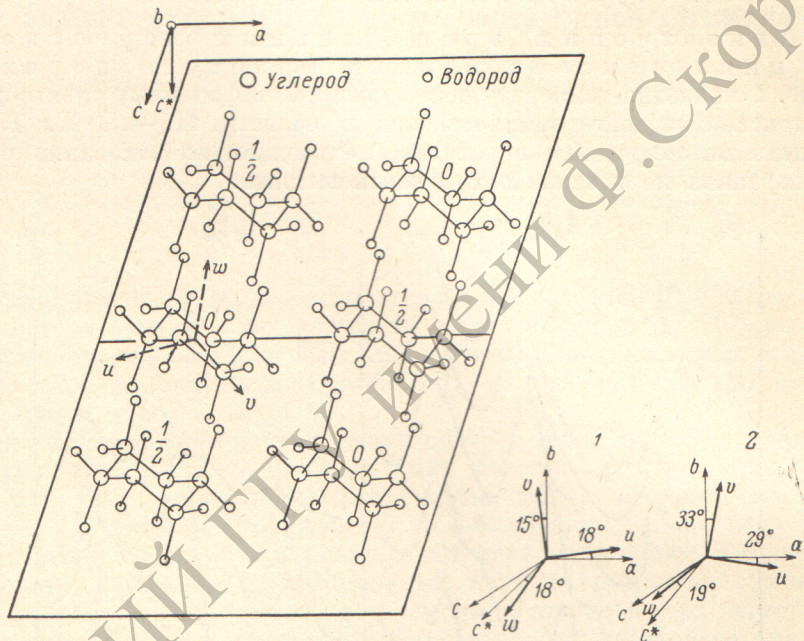


Рис. 2. Кристаллографическая ячейка циклогексана.  
Ориентация главных осей инерции молекулы  $C_6H_{12}$  (1) и  $C_6D_{12}$  (2) относительно кристаллографических осей ( $a$ ,  $b$ ,  $c$  и  $c^*$ ).

кристалл «освобождается» только переориентации молекул относительно осей  $u$  и  $v$ , тогда как переориентации вокруг  $w$  активированы в кристалле II задолго до перехода в согласии с выводом, сделанным по ЯМР спектрам [8].

Близкая к описанной ситуация имеет место в кристаллическом 1,2-дихлорэтане, когда при фазовом переходе (177 K) в высокотемпературную модификацию молекулярное вращение вокруг оси Cl—Cl становится почти свободным, а «подготавливается» оно еще в низкотемпературной фазе задолго до перехода. Замечено это явление было по температурной зависимости фонового КРС спектра [9].

2. Интерпретация фонового спектра кристалла II циклогексана и дейтероциклогексана. Исходя из структуры кристалла II (пространственная группа  $C^2/c$ ,  $z=4$  [10]), можно ожидать 9 оптически активных кристаллических колебаний, из которых 3 трансляционных колебания ( $2A_u + B_u$ ) активны только в ИК поглощении, а 6 либрационных колебаний ( $3A_g + 3B_g$ ) — только в КРС.

Фононный спектр циклогексана и дейтероциклогексана в приближении жестких молекул<sup>1</sup> рассчитывался методом атом-атомных потенциалов, который был с успехом использован для ряда органических кристаллов [12]. Потенциал взаимодействия был выбран в форме  $-Ar^{-6} + B \exp(-\alpha r)$ . При расчете были использованы различные параметры потенциальной кривой. Наилучшее совпадение рассчитанного и экспериментального спектров дает потенциал Вильямса [13], где для C—C взаимодействий  $A = 505$  ккал· $\text{\AA}^6/\text{моль}$ ,  $B = 61\ 900$  ккал/моль,  $\alpha = 3.60\ \text{\AA}^{-1}$ ; для C—H взаимодействий  $A = 128$  ккал· $\text{\AA}^6/\text{моль}$ ,  $B = 11\ 000$  ккал/моль,  $\alpha = 3.67\ \text{\AA}^{-1}$  и для H—H —  $A = 32$  ккал· $\text{\AA}^6/\text{моль}$ ,  $B = 2630$  ккал/моль,  $\alpha = 3.74\ \text{\AA}^{-1}$ . Координаты атомов и параметры элементарной ячейки, определенные при 115 К с достаточно высокой точностью ( $R = 0.061$ ), взяты из работы [10], радиус учета межмолекулярных атом-атомных взаимодействий — 10 Å. Элементы динамической матрицы рассчитывались с помощью аналитического дифференцирования энергии решетки по смещениям центра тяжести и угловым поворотам вокруг осей инерции молекулы. Схема расчета подробно описана в работах [7, 12].

Фононный спектр рассчитывался также с использованием структуры, соответствующей минимуму энергии решетки для данного набора параметров атом-атомного взаимодействия. Процедура минимизации выполнялась при фиксированных значениях параметров элементарной ячейки и при условии сохранения симметрии кристалла. Как оказалось, структура, минимизирующая энергию решетки, незначительно отличается от определенной экспериментально (угол поворота молекул  $\sim 2^\circ$ ), а энергия решетки  $U$  (115 К)<sub>расч.</sub> = -11.5 ккал/моль хорошо согласуется с измеренной экспериментально  $U$  (186 К)<sub>эксп.</sub> = -11.0 ккал/моль [14].

В таблице приведены экспериментальные<sup>2</sup> и рассчитанные частоты ( $\text{см}^{-1}$ ), изотопический сдвиг и отношения частот циклогексана и дейтероциклогексана. Здесь же приведены рассчитанные формы колебаний. Величины  $\sqrt{I_D/I_H}$  рассчитаны исходя из соответствующей формы колебаний.

Поскольку исследовался КРС спектр поликристалла, то поляризационные измерения, обычно применяемые для интерпретации, провести не удалось, а отнесение экспериментальных частот к определенным типам проводилось путем сравнения их с рассчитанными с учетом приведенных в таблице соотношений. Все 5 наблюдаемых в КРС линий, соответствующих фононному спектру циклогексана и дейтероциклогексана, удалось достаточно однозначно сопоставить с рассчитанными частотами. Шестая частота, не наблюдавшаяся в нашем спектре КРС, была получена экстраполяцией к 115 К частоты линии 138 см<sup>-1</sup> при 4.2 К [3] и 128 см<sup>-1</sup> при 77 К [4] (получено значение около 120 см<sup>-1</sup>, см. таблицу).

В таблице приведены также 3 рассчитанные частоты трансляционных колебаний, которые должны быть активными в длинноволновых ИК (ДИК) спектрах. Однако в существующих трех исследованиях ДИК спектров кристаллического циклогексана [3, 5, 6] обнаружено только 2 частоты — 63 и 98 см<sup>-1</sup>. Полоса 98 см<sup>-1</sup> однозначно интерпретируется как  $\nu_7 (A_u)$ , тогда как для двух расчетных  $\nu_8$  и  $\nu_9$  остается только одно экспериментальное значение — 63 см<sup>-1</sup>. Из расчета видно (см. таблицу), что  $\nu_8$  и  $\nu_9$  очень близки по величине и становятся заметно различающимися только при использовании структуры, минимизирующющей энергию решетки. В этом случае к экспериментальной частоте ближе  $\nu_9 (B_u)$ , что и послужило основанием для приведенной в таблице интерпретации. Вообще же, не исключено, что полосы этих двух колебаний налагаются в ДИК спектре друг на друга.

<sup>1</sup> Это приближение достаточно хорошее, так как самая низкая частота внутримолекулярных колебаний циклогексана составляет 240 см<sup>-1</sup> [2, 11], что вдвое больше самых высоких частот фононов.

<sup>2</sup> В интервале 115–180° все частоты КРС спектра убывают с повышением температуры на 10–15 см<sup>-1</sup>.

РЕПОЗИТОРИЙ УЧЕБНИКОВ

Ф. Скорини

Эксперимент (115 K)						Расчет (115 K)					
	C <sub>6</sub> H <sub>12</sub>	C <sub>6</sub> D <sub>12</sub>	$\Delta_y$	$\frac{\nu_H}{\nu_D}$	C <sub>6</sub> H <sub>12</sub>	C <sub>6</sub> H <sub>12</sub> *	C <sub>6</sub> D <sub>12</sub> *	$\Delta_y$	$\frac{\nu_H}{\nu_D}$	$\sqrt{\frac{I_D}{I_H}}$	форма колебаний, %
											C <sub>6</sub> H <sub>12</sub>
<i>A<sub>g</sub></i>	v <sub>1</sub>	110	97	13	1.434	90	86	80	10	1.125	82R <sub>u</sub> , 17R <sub>w</sub>
	v <sub>2</sub>	85	75	10	1.433	82	76	72	10	1.139	93R <sub>v</sub> , 7R <sub>w</sub>
<i>B<sub>g</sub></i>	v <sub>3</sub>	69	61	8	1.431	65	62	58	7	1.121	15R <sub>w</sub> , 79R <sub>v</sub> , 6R <sub>w</sub>
	v <sub>4</sub>	120 **	—	—	—	—	104	103	92	12	1.130
<i>A<sub>u</sub></i>	v <sub>5</sub>	92	83	9	1.408	84	81	75	9	1.120	39R <sub>u</sub> , 61R <sub>v</sub>
	v <sub>6</sub>	62	54	8	1.449	63	64	55	8	1.145	5R <sub>w</sub> , 17R <sub>v</sub> , 78R <sub>w</sub>
<i>B<sub>u</sub></i>	v <sub>7</sub>	98 [5, 6]	—	—	—	93	90	87	6	—	10R <sub>w</sub> , 8R <sub>v</sub> , 82R <sub>w</sub>
	v <sub>8</sub>	—	—	—	—	56	51	53	3	—	51R <sub>w</sub> , 31R <sub>v</sub> , 18R <sub>w</sub>
<i>B<sub>u</sub></i>	v <sub>9</sub>	63 [3]	—	—	—	57	57	53	4	—	100T <sub>b</sub>

\* Спектр рассчитан с использованием структуры, минимизированной энергией генетики.

\*\* Значение частоты получено экстраполяцией к 115 K частот 138 см<sup>-1</sup> при 4,2 K и 128 см<sup>-1</sup> при 77 K [3, 4].

Таким образом, располагая формами кристаллических колебаний, активных в КРС, и исследуя температурную зависимость фононных спектров при приближении к фазовому переходу снизу по температуре, мы смогли получить дополнительные к ЯМР данные об анизотропной переориентации молекулы циклогексана и дейтероциклогексана в кристалле, которая в кристалле I становится изотропной. Расчет фононного спектра кристалла II, насколько известно, нами выполнен впервые.

#### Литература

- [1] Г. Н. Жижин, А. Усманов. ФТТ, 13, 1538, 1971.
- [2] Х. Е. Стерин, А. В. Бобров, Г. Н. Жижин. Опт. и спектр., 18, 905, 1965.
- [3] В. Н. Роговой, Г. Н. Жижин, ФТТ, 17, 376, 1975.
- [4] Б. П. Невзоров, А. В. Сечкарев. Изв. вузов, физика, № 2, 75, 1971.
- [5] Y. A. Satatuy, A. Ron. Chem. Phys. Lett., 25, 384, 1974.
- [6] B. Wuncke, A. Hadni. Proc. Int. Conf. Phonons. Rennes, France, 1971, ed by M. A. Nusimovici. Flammarion Sciences, Paris, p. 228, 1971.
- [7] А. И. Китайгородский. Молекулярные кристаллы. «Наука», М., 1971.
- [8] E. A. Andrew, R. G. Eades. Proc. Roy. Soc., A216, 398, 1953.
- [9] A. Ozora, T. Nakagawa, M. Ito. Bull. Chem. Soc. Japan, 45, 95, 1972.
- [10] R. Kahn, R. Fourme, D. Andrew, M. Renaud. Acta Cryst., B29, 131, 1973.
- [11] Э. И. Мухтаров, А. А. Пичурин. Опт. и спектр., 6, 1143, 1973.
- [12] А. И. Китайгородский, Э. И. Мухтаров. Опт. и спектр., 16, 1027, 1969.
- [13] D. E. Williams. J. Chem. Phys., 47, 4680, 1967.
- [14] A. Bondy. J. of Chem. and Eng. Data, 8, 311, 1963.

Поступило в Редакцию 24 августа 1978 г.